

Received	2025/11/30	تم استلام الورقة العلمية في
Accepted	2025/12/18	تم قبول الورقة العلمية في
Published	2025/12/19	تم نشر الورقة العلمية في

## استخدام الشبكات العصبية الاصطناعية لتحديد اهم العوامل المؤثرة على الفشل الكلوي (دراسة تطبيقية)

رمضان الكامل فحيل البوم<sup>1</sup>, مصطفى محمد الفقي<sup>2</sup>, محمود أحمد الشتيوي<sup>3</sup>

<sup>1,2</sup> كلية العلوم بالزاوية، جامعة الزاوية - ليبيا.

<sup>3</sup> كلية العلوم، جامعة المرقب، الخمس - ليبيا

m.alfaki@zu.edu.ly

### الملخص:

يعد التمييز بين المشاهدات من الاساليب شائعة الاستخدام وذلك لكثره الظواهر التطبيقية التي يمكن ان يتم تحليلها من خلال أسلوب التمييز بين المشاهدات، هناك العديد من الطرق التي يمكن أن تستخدم للتصنيف بين المشاهدات ومن هذه الطرق تقنية الشبكات العصبية الاصطناعية، وفي هذه الدراسة تم استخدام الشبكات العصبية الاصطناعية، وذلك لتصنيف المشاهدات ومعرفة أهم العوامل المؤثرة علي الفشل الكلوي، حيث تم جمع البيانات من مركز غسيل الكلى ببلدية الخمس-ليبيا وذلك باستخدام العينة العشوائية البسيطة وقد شملت الدراسة 167 من المصابين والغير مصابين بالفشل الكلوي، وقد تم اخذ بعض التحاليل المختبرية لهم، وقد اعتبر أن المصابون والغير مصابون بالفشل الكلوي كمتغير تابع، في حين المتغيرات المستقلة كانت (الهيوجلوبين، ضغط الدم، البوتاسيوم، الصوديوم، الكرياتين، اليوريا، العمر، الجنس)، وتوصلت الدراسة الى أن أهم متغير مؤثر في التصنيف باستخدام الشبكات العصبية الاصطناعية هو متغير اليوريا إذ بلغت نسبة اهميته 35.0 %، يليه متغير الكرياتين بنسبة اهمية بلغت 28.2 %، في حين كان اقل المتغيرات أهمية هو متغير الجنس بنسبة بلغت 2.7 %، فيما كانت درجة دقة التصنيف والتتبؤ، 88.2 %.

**الكلمات المفتاحية:** الشبكات العصبية الاصطناعية، الفشل الكلوي، التصنيف، التتبؤ، دقة التصنيف، اليوريا، الكرياتين.

## Using Artificial Neural Networks to Identify the Most Important Factors Affecting Kidney Failure (Applied Study)

**Ramadan Fahil Al-Boum<sup>1</sup>, Mustafa Alfaki<sup>2</sup>, Mahmoud Al-Shteewi<sup>3</sup>**

<sup>1,2</sup>, Faculty of Science , University of Zawia - Libya

<sup>3</sup> Faculty of Science, Elmergib University - Al-Khums - Libya

m.alfaki@zu.edu.ly

### **Abstract:**

Distinguishing sightings is a commonly used method because of the many applied phenomena that can be analyzed through the method of distinguishing sightings. There are many methods that can be used to classify sightings. Among these methods is the technology of artificial neural networks.

In this study, synthetic neural networks were used to classify sightings and find out the most important factors influencing kidney failure. Data was collected from the kidney washing center of the municipality of Al Khums - Libya using a simple random sample. The study included 167 infected and non-kidney failure. Some laboratory analyses have been taken for them, and it has been considered that people with and without kidney failure have a subordinate variant, while the independent variables have been (hemoglobin, blood pressure, potassium, sodium, creatine, Urea, age). The study found that the most significant variable in classification using synthetic neural networks was the urea variable, with an important ratio of 35.0%, followed by the Creatinine variable with an important ratio of 28.2%, while the lowest variable was the gender variable of 2.7%, while a rating accuracy and prediction score (88.2%).

**Keywords:** Artificial Neural Networks, Kidney Failure, Classification, Prediction, Classification Accuracy, Urea, Creatinine.

### **1. المقدمة:**

لا تزال أمراض الكلى مصدر قلق عالمي للصحة العامة بسبب ارتفاع انتشارها وارقاضها  
معدل الإصابة بها، فقد كان مرض الكلى المزمن مرضًا تم التقليل من شأنه في العقود

الماضية، ولقد لفت انتباه الباحثين منذ أن أصبح مشكلة صحية عامة رئيسية ويرجع ذلك جزئياً إلى مسبباته الشائعة التي يسببها مرض السكري وارتفاع ضغط الدم والسمنة والشيخوخة، ومعدل الإصابة بهذه الحالات أخذ في الازدياد.

مرض الكلى المزمن هو اضطراب يحدث عندما تتدحر وظائف الكلى لدى المريض مما يؤدي إلى نتيجة الفشل الكلوي الحاد والأمراض اللاحقة الأخرى ونتيجة لذلك، تتأثر نوعية حياتهم بشكل عام، وحسب التقديرات والإحصائيات فإن مرض الكلى المزمن يصيب واحداً من كل 10 أشخاص في جميع أنحاء العالم، وحسب الدراسات التقديرية والتنبؤية فمن المتوقع وبحلول عام 2040 أن يكون السبب الرئيسي للوفاة في جميع أنحاء العالم.

## 2. الدراسات السابقة:

يخضع مجال التشخيص الطبي للدراسة والبحث باستمرار، وقد استُخدمت الشبكات العصبية على نطاق واسع في الأبحاث المتعلقة بأمراض الفشل الكلوي، وتشير الدراسات السابقة إلى أن العوامل مثل ارتفاع ضغط الدم، مرض السكري، والتاريخ العائلي تلعب دوراً رئيسياً في تطور الفشل الكلوي، كما أثبتت بعض الدراسات أن العوامل النفسية والاجتماعية تؤثر أيضاً على الحالة الصحية للمرضى.

ونستعرض في هذه الورقة البحثية بعض الدراسات السابقة المتعلقة بتطبيق الشبكات العصبية الاصطناعية في مجال الفشل الكلوي، وتسلط الضوء على النتائج الرئيسية التي توصلت إليها هذه الدراسات:

### • "التعلم الآلي لتصنيف مرض الكلى المزمن والتنبؤ بمستويات الكرياتينين باستخدام القياسات المنزلية"

أظهرت دراسة (Brady. et.al, 2025) فعالية تقنيات التعلم الآلي في تصنيف مرض الكلى المزمن و التنبؤ بمستويات الكرياتينين باستخدام القياسات المنزلية على بيانات 400 مريض، فحقق نموذج الغابات العشوائية دقة 92.5% باستخدام القياسات المنزلية، وتجاوزت دقة النماذج المعتمدة على البيانات المختبرية 98% كما تبين أن المتغيرات الأكثر تأثيراً في التنبؤ تشمل الهيموغلوبين، اليوريا، وارتفاع ضغط الدم، مما يدعم استخدام القياسات المنزلية كأداة مساعدة لمتابعة المرضى.

- "مرض الكلى المزمن وأجندة الصحة العامة العالمية"  
أشارت الدراسة (Anna, et.al, 2024) إلى أن مرض الكلى المزمن يصيب أكثر من 10% من سكان العالم، وأكثر من 90% منهم غير مدركين لحالتهم في البلدان قليلة الموارد، وارتفع انتشار المرض بنسبة 33% منذ 1990، مع توقع تضاعف عدد المرضى الذين يحتاجون للعلاج التعويضي بحلول 2030، وتشير هذه الدراسة إلى فجوة كبيرة في الوصول إلى الرعاية، ما يستدعي تعزيز الكشف المبكر وتحسين الخدمات الصحية.
- "تشخيص مرض الكلى المزمن باستخدام الشبكة العصبية الاصطناعية (ANN)":  
قامت دراسة (Ala (2023) لتطوير نموذج خوارزمي يتضمن الشبكات العصبية الاصطناعية، وقد أشارت النتائج إلى أن بنية الشبكات العصبية الاصطناعية المستخدمة حققت أفضل دقة (98.56%)، في حين أن طرقاً أخرى، مثل (Random-SVM و K-Nearest Neighbor (KNN)، قدمت مستويات دقة أقل من تلك الخاصة بالشبكات العصبية الاصطناعية.
- "تحليل التنبؤ بأمراض الكلى باستخدام تقنيات الشبكات العصبية"  
في هذه الدراسة (Ali Arif, Asif Ali (2021) تم تطبيق نهجاً فريداً للتعلم العميق لفهم وتشخيص أمراض الكلى، يتكون من شبكة عصبية عميقه غامضة لأغراض التدريب. تشير النتائج المُحصل عليها إلى أن النهج المقترن يتمتع بدقة 99.23% مقارنة بالتقنيات الحالية. بالإضافة إلى ذلك، ومع تطور الأبحاث المستقبلية، قد تُراجع كفاءة تحديد الأمراض المزمنة دون وجود دعم طبي. يُطابق النهج المقترن فئات استخراج قواعد البيانات الحالية من حيث التصنيف، والموثوقية، وقياس F، ومعايير الحساسية.
- "تحليل الشبكات العصبية للتنبؤ بالوفيات في مرض الكلى في المرحلة النهائية:  
تطبيق على نظام بيانات الكلى في الولايات المتحدة."  
أظهرت دراسة (Adam N. et al (2010) إمكانية تطوير نماذج تعتمد على البيانات المقدمة إلى نظام بيانات الكلى الأمريكي للتنبؤ بدقة بمعدلات البقاء على قيد الحياة، ولقد تم استخدام نموذج كوكس للمخاطر النسبية، وجدت نتائج إحصائية C متوقفة في فترات زمنية تتراوح بين سنتين و10 سنوات، ولكن في فترات زمنية سابقة، كان نموذج

كوكس أدنى قليلاً. تشير هذه النتائج إلى أن البيانات المقدمة إلى USRDS تُتيح نماذج تنبؤية عالية الدقة بعد سنوات من بدء غسيل الكلى.

#### • "الكشف عن الفشل الكلوي باستخدام تقنيات التعلم الآلي"

استُخدمت دراسة Kilvia L., et.al, (2020) تقنيات تعلم الآلة، حيث تم من خلالها حساب دقة كلٍ منها. وقد استُخدمت قاعدة بيانات MIMIC-II في معالجة البيانات، وتبين أن هذه التقنيات يمكن أن تشكّل استراتيجيات مهمة لإنقاذ الأرواح. وبناءً على ما سبق، يتبيّن أن معظم الدراسات السابقة أكدت فاعلية الشبكات العصبية الاصطناعية في تشخيص أمراض الكلى والتنبؤ بها، من حيث الدقة والاستقرار والقدرة على التعميم.

كما تتوافق هذه النتائج مع الإطار النظري الذي قدمه Negnevitsky (2005) والذي يؤكد أن الشبكات العصبية الاصطناعية تُعد من أهم أدوات الذكاء الاصطناعي في بناء الأنظمة الذكية، خاصة في المجالات الطبية التي تتطلّب تحليل كميات كبيرة من البيانات واستخلاص قرارات دقيقة في بيئات تتسم بعدم اليقين.

### 3. المنهجية:

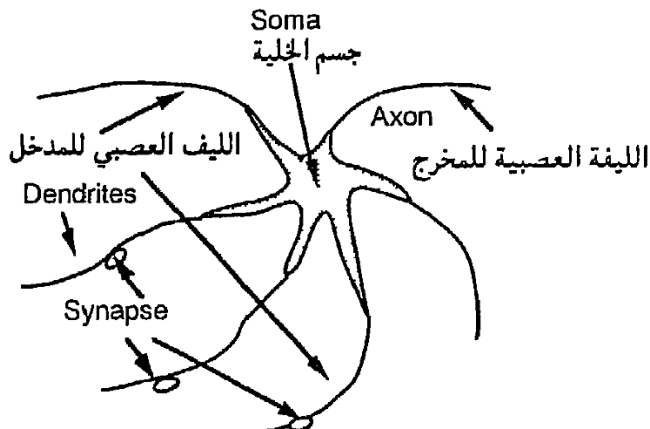
#### 1.3 مقدمة:

تعتبر الشبكات العصبية الاصطناعية نوع من الذكاء الاصطناعي، وهي موضوعاً جديداً وهاماً للغاية، إذ تبني نماذج الشبكات العصبية لتحليل البيانات وتقيمها والتنبؤ بها والتحكم فيها، دون الاعتماد على نموذج قديم أو طريقة إحصائية تقليدية تصف سلوك ظاهرة إحصائية. وتُعد الشبكات العصبية الاصطناعية مجالاً مهماً استقطب اهتمام العديد من العلماء والباحثين، وقد شهد هذا المجال تطورات مستمرة كان لها آثار كبيرة على مستقبل البشرية على جميع المستويات، نظراً لتركيزه على مشاركة الإنسان ومساعدته في مختلف الأنشطة اليومية التي تؤثر على الناس في حياتهم المهنية والاجتماعية والصحية وغيرها.

#### 2.3 الشبكات العصبية الاصطناعية:

هي تركيبات للمعالجة المتوازية الموزعة، وتعتمد أساساً على عنصر المعالجة القادر على العمل كذاكرة محلية مع إجراء عمليات المعالجة المختلفة، والذي له مخرج واحد يتفرع إلى كثير من التفرعات التي تحمل نفس الاشارة الخارجية من مع بقاء المعالجة محلية، أي

أنها تعتمد على القيم المدخلة وكذلك القيم المخزونة بالذاكرة المحلية لهذه العناصر الحسابية كما في الشكل رقم (1).

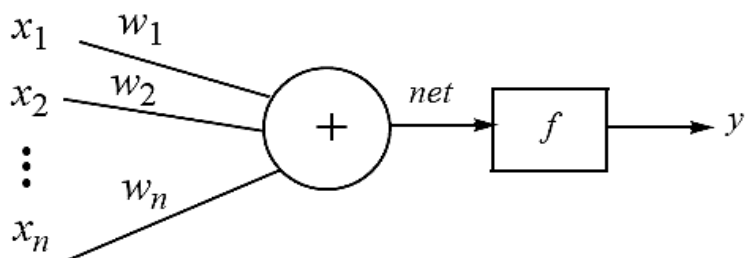


الشكل (1): يمثل الخلية العصبية

المصدر: محمد الشرقاوي (1996)

### 3.3 نموذج خلية عصبية اصطناعية:

يُعرف أيضًا بالنموذج الرياضي أو الحسابي القائم على الشبكات العصبية البيولوجية، أي أنه يحاكي الجهاز العصبي البيولوجي، ويكون من مجموعة من الخلايا العصبية وعمليات معلومات مترابطة. وهو قابل للتكييف وفقًا للمعلومات الخارجية أو الداخلية التي تتدفق عبر الشبكة خلال مرحلة التعلم. يوضح الشكل رقم (2) الشكل الرياضي للشبكة العصبية الاصطناعية:



الشكل (2): يمثل الشكل الرياضي للشبكة العصبية الاصطناعية

المصدر: محمد الشرقاوي (1996)

حيث:

$x_1, x_2, x_3, \dots, x_n$  : مدخلات الخلية العصبية.

$w_1, w_2, w_3, \dots, w_n$  : معلمات ذات قيمة حقيقة تسمى أوزانًا.

$w_1 x_1 + w_2 x_2 + \dots + w_n x_n$  : المجموع المرجح.

$f$  : دالة التنشيط.

$y$  : مخرجات الخلية العصبية

### 4.3 توصيف نموذج الشبكات العصبية:

لاستخدام التصنيف بتطبيق الشبكات العصبية سوف يتم استخدام دالة الخطوة Function وتسمى أيضاً دالة العتبة (Threshold Function) ، وذلك لأنها تناسب الاستخدامات التصنيفية والتمييزية وذلك لأنها تعطي نتيجتين فقط للنتائج (0 أو 1) كما في الصيغة التالية :

$$f(X_i) = \begin{cases} 0 & \text{if } x < 0 \\ 1 & \text{if } x \geq 0 \end{cases} \quad (1)$$

حيث تصبح صيغة الدالة او النموذج كما يلي:

$$f(X_i) = \frac{1}{1 + e^{-s}} \quad (2)$$

حيث  $s$  تمثل المجموع الموزون للمدخلات مضافاً إليه حد التحيز (Bias) الذي نرمز له بالرمز  $\theta$  ، أي أن المجموع الموزون يعطى بالصيغة التالية:

$$S = \sum_{i=1}^n w_i x_i + \theta \quad (3)$$

حيث :  $w_i$  تمثل الأوزان (الأهمية النسبية للمتغيرات) ،  $x_i$  تمثل المتغيرات المستقلة

بما ان هناك عدة متغيرات مستقلة يصبح المجموع الموزون كالتالي:

$$S = w_1 x_1 + w_2 x_2 + w_3 x_3 + w_4 x_4 + w_5 x_5 + w_6 x_6 + w_7 x_7 + w_8 x_8 + \theta \quad (4)$$

أما النموذج فيأخذ الصورة التالية:

$$f(x_i) = \frac{1}{1 + e^{-(w_1x_1 + w_2x_2 + w_3x_3 + w_4x_4 + w_5x_5 + w_6x_6 + w_7x_7 + w_8x_8 + \theta)}} \quad (5)$$

#### 4. تحليل النتائج:

##### 1.4 جمع البيانات:

تم جمع البيانات من مركز غسيل الكلى ببلدية الخمس - ليبيا وذلك باستخدام العينة العشوائية البسيطة وقد شملت الدراسة 167 من المصابين وغير مصابين بالفشل الكلوي ، وقد تم اخذ بعض التحاليل المختبرية لهم ، وقد أعتبر أن المصابون وغير مصابون بالفشل الكلوي كمتغير تابع فقد أعطيت القيمة (0) غير المصاب وقيمة (1) المصاب ، أما المتغيرات الأخرى فهي تمثل المتغيرات المستقلة وهي المتغيرات التي تم تحديدها بعد مراجعة بعض الأطباء المتخصصين بالكلوي وهي كما في الجدول رقم (1):

- بعض خصائص العينة

الجدول (1): المتغيرات المستقلة في الدراسة

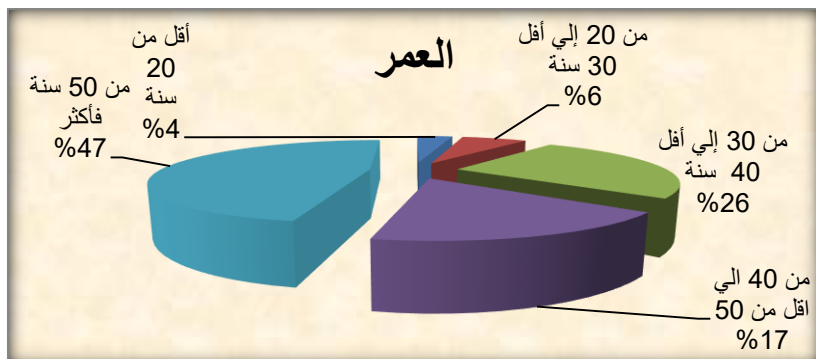
X1	X2	X3	X4	X5	X6	X7	X8
الجنس	العمر	اليوريا	الكرياتين	الصوديوم	البوتاسيوم	الضغط	الهيموجلوبين

- توزيع أفراد العينة حسب العمر:

الجدول (2): التوزيع التكراري والنسيبي للعمر لعينة الدراسة

النسبة المئوية	التكرار	العمر
%3.6	6	أقل من 20 سنة
%6.6	11	من 20 إلى أقل من 30 سنة
%25.7	43	من 30 إلى أقل من 40 سنة
%17.4	29	من 40 إلى أقل من 50 سنة
%46.7	78	من 50 سنة فأكثر
% 100	167	المجموع

يتبيّن من نتائج الجدول (2) أن (46.7%) من عينة الدراسة أعمارهم من (من 50 سنة فأكثر) وان (25.7%) من عينة الدراسة أعمارهم من (30 إلى أقل 40 سنة) وان ما نسبته (17.4%) من عينة الدراسة هم من اعمارهم (من 40 إلى اقل من 50) فيما كانت نسبة الأشخاص الذين أعمارهم (أقل من 20 سنة) هي الأقل بنسبة (3.6%) والشكل (3) يوضح التوزيع النسبي للعمر لأفراد العينة.



الشكل (3) يوضح التوزيع النسبي للعمر لأفراد العينة

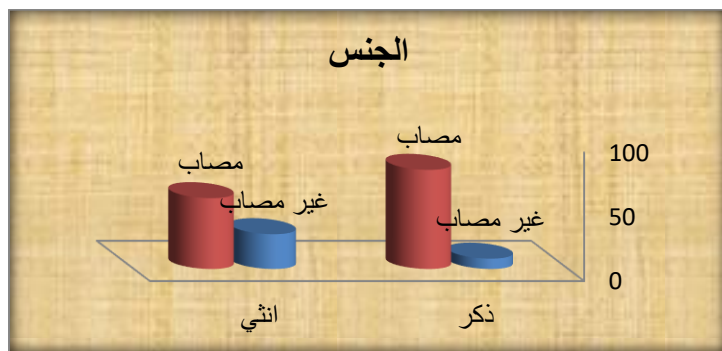
المصدر: برنامج SPSS V23

#### • توزيع افراد العينة حسب الجنس:

الجدول (3): التوزيع التكراري والنسيبي للجنس لعينة الدراسة

النسبة المئوية	المجموع	المرض		الجنس
		مصاب	غير مصاب	
%50.9	85	77	8	ذكر
%49.1	82	55	27	أنثى
%100.0	167	132	35	الكلي

يتبيّن من نتائج الجدول (3) أن 50.9% من عينة الدراسة هم من الذكور وان الإناث كانت نسبتهم داخل العينة 49.1% والشكل (4) يبيّن التوزيع النسبي للجنس.



الشكل (4) يبين التوزيع النسبي للجنس

المصدر: برنامج SPSS V23

- تحليل البيانات باستخدام نموذج الشبكة العصبية الاصطناعية المقترن:  
جدول (4) معلومات الشبكة العصبية المستخدمة (Network Information)

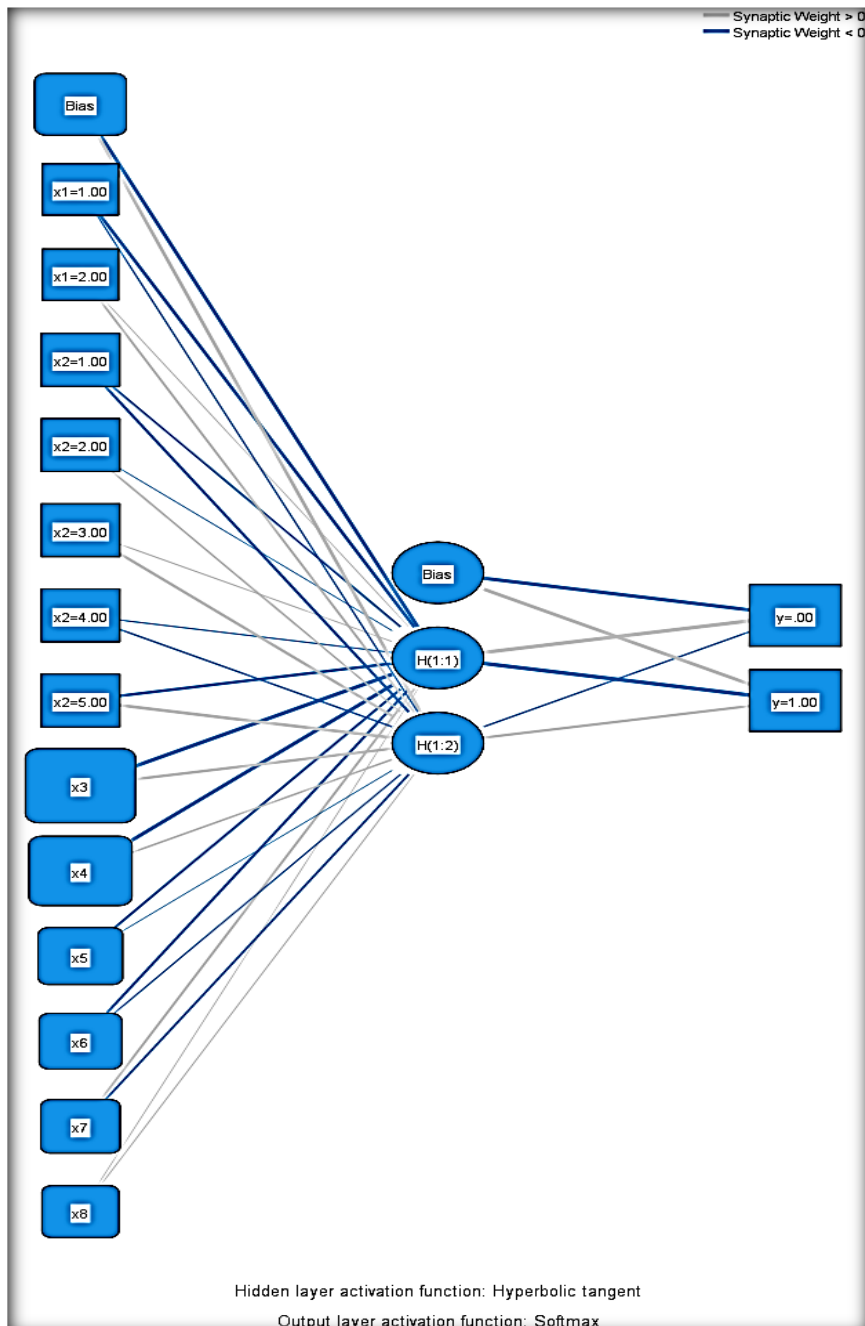
Network Information				
Input Layer	Factors	1	الجنس	
		2	العمر	
	Covariates	1	اليوريا	
		2	الكرياتين	
		3	الصوديوم	
		4	البوتاسيوم	
		5	الضغط	
Hidden Layer(s)	Number of Units <sup>a</sup>		13	
	Number of Hidden Layers		1	
	Number of Units in Hidden Layer 1 <sup>a</sup>		2	
Output Layer	Activation Function	Hyperbolic tangent		
	Dependent Variables	1	هل انت مريض فشل كلوي	
	Number of Units		2	
	Activation Function	Softmax		

من الجدول (4) في الجزء الاول الخاص بطبقة المدخلات (Input Layer) يتضح أن هناك متغيرات لكل منها عدة مستويات أو معامل (factors) وهم متغير (الجنس ،

العمر) ، اما المتغيرات المستقلة الاخرى فهي متغيرات كمية ويعبر عنها بـ covariates وهم متغيرات (اليوريا ، الكرياتين ، الصوديوم، البوتاسيوم، الضغط، الهيموجلوبين)، كما يتضح أن بطبقة المدخلات (13) وحدة إدخال Number of Units ، أما في الجزء الخاص بالطبقة المخفية نجد ان هناك طبقة واحدة خفية Number of Hidden Layers، عدد وحدات هذه الطبقة الخفية Number of Units in Hidden Layer هو وحدتين، وان دالة التنشيط المستخدمة في الطبقة الخفية هي دالة Hyperbolic tangent، كما يتضح أن هناك متغير تابع واحد ، اما الجزء الاخير من الجدول خاص بمعلومات طبقة المخرجات Output Layer وهي طبقة واحدة، وفي هذا الجزء يتضح لنا ان عدد وحدات المعالجة بهذه الطبقة هما وحدتين، وان دالة التنشيط المستخدمة في هذه الطبقة هي دالة Softmax وتعرف أحيانا احيانا بدالة Sigmoid أو الدالة اللوجستية.

يتضح من الشكل البياني (5) الذي يظهر معمارية الشبكة المستخدمة التي تتكون من طبقة مدخلات من اليسار وتتكون من 13 وحدة إضافة إلى وحدة Bias ، والطبقة الثانية هي الطبقة المخفية في الوسط وتتكون من وحدتين ، اما الطبقة الاخيرة على الطرف الایمن على طبقة المخرجات ( الناتج ) ، ومن هنا يتضح أن هناك نتيجتين للشبكة هما ( $y=0$ ) وهذا يعني ان الشخص غير مصاب ، و ( $y=1$ ) هذا يعني أن الشخص مصاب.

يتضح من الجدول (5) أن نسبة التصنيف الخاطئ في عينة التدريب بلغ 10.3% بينما نسبة التصنيف الخاطئ في عينة الاختبار بلغ 11.08% وهذا يشير إلى أن الشبكة تدربت بشكل جيد على تصنیف المفردات الجيدة، كما يتضح من الجدول أن قانون توقف الشبكة عن التدريب Rule Used (Stopping) هو عندما تصبح نسبة الخطأ ثابتة أو عندما تتوقف نسبة الخطأ عن الزيادة ، ويعتمد ذلك على عينة الاختبار ، كما يتضح من الجدول السابق أن زمن تدريب الشبكة هو 14 ثانية .



الشكل البياني (5) معمارية الشبكة العصبية الاصطناعية المستخدمة  
المصدر: برنامج SPSS V23

#### جدول (5) ملخص نموذج الشبكة العصبية المستخدمة

Model Summary		
Training	Percent Incorrect Predictions	10.3%
	Stopping Rule Used	1 consecutive step(s) with no decrease in error <sup>a</sup>
	Training Time	0:00:00.14
Testing	Percent Incorrect Predictions	11.8%

- التحقق من صحة نموذج الشبكات العصبية باستخدام أسلوب التحقق المتقاطع ومنحنى (ROC):

يتم تقييم أداء نموذج الشبكات العصبية باستخدام خوارزمية 5-Fold Cross Validation ، وذلك للتحقق من أن النموذج قادر على التعميم ودقة التنبؤ ، والجدول (6) يوضح مؤشرات الأداء الرئيسية عبر الطيات المختلفة، وبين الشكل رقم (6) منحنى ROC الذي يقيس القوة التمييزية للنموذج. وهذه النتائج معًا تسهم في تقديم صورة شاملة عن كفاءة النموذج ودقة تصنيفه للحالات.

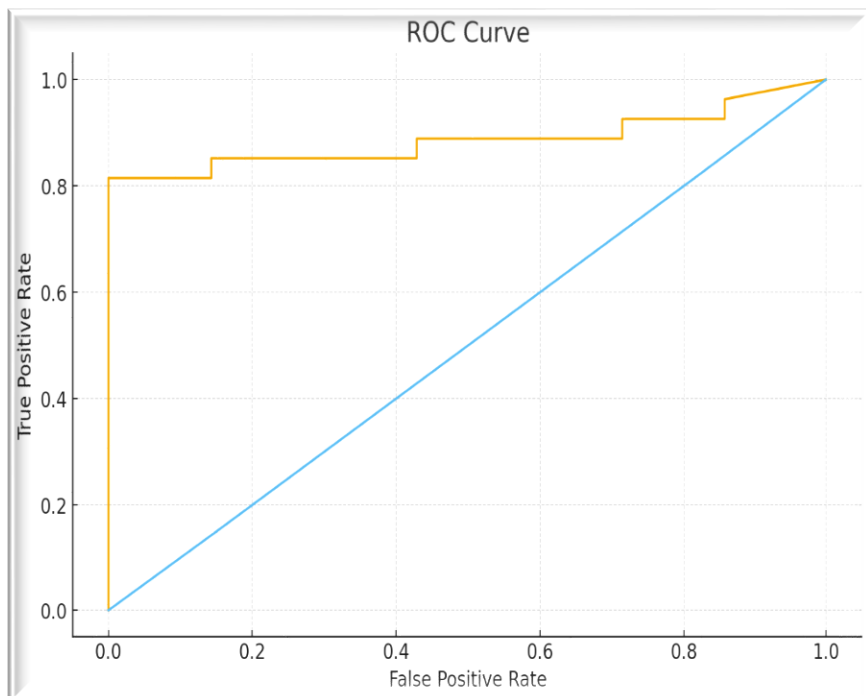
#### الجدول (6) للتحقق من صحة النموذج

الطية	Acc	Prec	Rec	F1	Auc
Fold 1	0.912	0.958	0.871	0.907	0.958
Fold 2	0.880	0.917	0.823	0.857	0.921
Fold 3	0.892	0.933	0.842	0.877	0.937
Fold 4	0.925	0.962	0.895	0.921	0.969
Fold 5	0.867	0.894	0.802	0.836	0.902
mean	0.895	0.933	0.847	0.88	0.937
Std. Dev.	0.023	0.028	0.037	0.035	0.027

نلاحظ من نتائج جدول (6) أن نموذج الشبكات العصبية حق أداءً مرتفعاً ومتوائماً عبر جميع الطيات، حيث تراوحت الدقة بين (0.867 و 0.925) مع انحراف معياري منخفض، وهذا يبين استقرار النموذج وقدرته على التعميم. كما تشير قيم Precision و Recall المتقاربة إلى كفاءة النموذج في التمييز بين الفئات وتقليل الأخطاء، وأن متوسط F1 البالغ 0.88 يعكس توازناً جيداً بين الحساسية والدقة. وتؤكد قيمة AUC

المرتفعة (0.937) القوة التمييزية للموديل في التنبؤ بالحالات، مما يجعل نتائج الموديل موثوقة وقابلة لتطبيق العملي والتصنيف.

• منحني ROC



الشكل (6) يوضح منحني ROC للبيانات  
المصدر برنامج Python V3.11

تشير نتائج الشكل (6) إلى أن الموديل يتمتع بأداء تمييزي ممتاز في التفرقة بين المرضى المصابين بالفشل الكلوي وغير المصابين حيث كانت قيمة (AUC=0.937) أي أن الموديل قادر على تصنیف الحالات بشكل أدق بكثير من التخمين العشوائي الذي يعادل الموديل كـ ROC القريب من الزاوية العلوية اليسرى مما يعني أن الموديل يحقق معدل حساسية (Sensitivity) عالي مع معدل خطأ إيجابي منخفض (Low False Positive Rate)، هذا يعزز إمكانية استخدام هذه العلامات الحيوية (خاصة الكرياتينين، اليوريا، الهيموجلوبين، الخ) كأدلة تشخيصية مساعدة للكشف المبكر عن الفشل الكلوي، خاصة في الموارد المحدودة حيث قد لا يتوفّر فحص متقدم.

• نتائج التصنيف باستخدام الشبكة العصبية المقترنة:

يبين الجدول (7) نتائج التصنيف المستخلصة من الشبكة العصبية المقترنة، حيث تهدف هذه النتائج إلى تقييم قدرة النموذج على التمييز بين الفئات بدقة وكفاءة النموذج وقدرته التنبؤية اعتماداً على مؤشرات الأداء الرئيسية.

جدول (7) نتائج التصنيف باستخدام الشبكة العصبية المقترنة

Classification				
Sample	Observed	Predicted		
		صباغ غير	صباغ	Percent Correct
Training	غير صباغ	25	3	89.3%
	صباغ	9	79	89.8%
	Overall Percent	29.3%	70.7%	89.7%
Testing	غير صباغ	6	1	85.7%
	صباغ	5	39	88.6%
	Overall Percent	21.6%	78.4%	88.2%

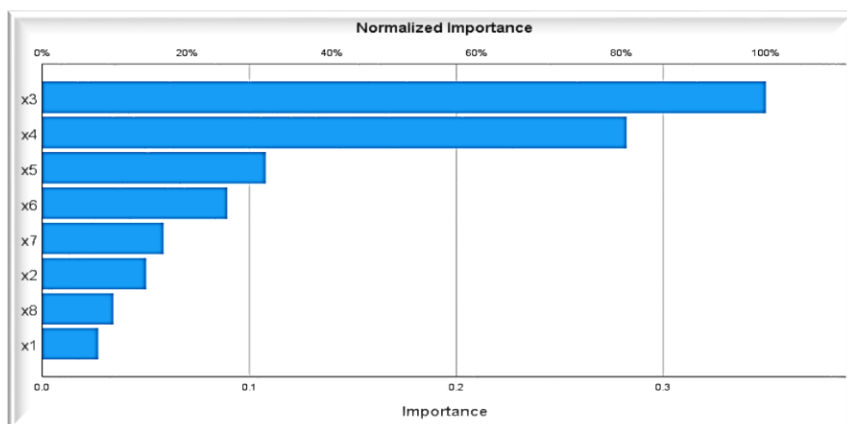
من الجدول (7) السابق يتضح أن التصنيف الصحيح للأشخاص الغير مصابين بالفشل الكلوي بلغ 89.3% في عينة التدريب Training بينما بلغ 85.7% في عينة الاختبار Testing ، وأن نسبة التصنيف الصحيح للأشخاص المصابين بالفشل الكلوي بلغت 89.8% في عينة التدريب بينما بلغ 88.6% في عينة الاختبار ، كما يتضح من عينة الاختبار ان نسبة التصنيف الصحيح باستخدام هذه الشبكة العصبية الاصطناعية بلغ 88.2% ، حيث تعتبر هذه النسبة ممتازة للتنبؤ أو التصنيف للمفردات الجديدة ، و مما سبق يؤكد لنا صحة الفرضية التي تتصل على امكانية استخدام الشبكات العصبية الاصطناعية لأغراض التصنيف بكفاءة عالية.

جدول (8) تحليل الاهمية النسبية للمتغيرات المستقلة

Independent Variable Importance		
	Importance	Normalized Importance
الجنس	.027	7.7%
العمر	.050	14.3%

اليوريا	.350	100.0%
الكرياتين	.282	80.7%
الصوديوم	.108	30.9%
البوتاسيوم	.090	25.6%
الضغط	.059	16.8%
الهيموجلوبين	.034	9.9%

يتضح من الجدول (8) أن أهم متغير مؤثر في التصنيف باستخدام الشبكات العصبية الاصطناعية هو متغير اليوريا إذ بلغت نسبة اهميته 35.0 % ، ثم يليه متغير الكرياتين بنسبة اهمية بلغت 28.2 % ، ثم جاء الصوديوم بنسبة اهمية بلغت 10.8 % ، في حين كان اقل المتغيرات أهمية هو متغير الجنس بنسبة بلغت 2.7 % ، مع العلم بأن الاهمية النسبية للمتغيرات تمثل أوزان تلك المتغيرات التي ذكرت في الاطار النظري مما سبق يتضح أن أهم متغير لتصنيف الاشخاص أنهم ( مصابين ، غير مصابين ) بالفشل الكلوي هو متغير اليوريا بينما المتغيرات (الجنس، العمر، الضغط ، الهيموجلوبين ) ليس له اهمية في تصنیف الفشل الكلوي أي أن تأثير هذه المتغيرات يكاد يساوي صفر . أما العمود الاخير من الجدول Normalized Importance فيوضح نسبة اهمية المتغيرات المستقلة لأكبر أهم نسبة لتلك المتغيرات ، والشكل البياني (7) يوضح الاهمية النسبية للمتغيرات المستقلة .



الشكل (7) يوضح الاهمية النسبية للمتغيرات المستقلة  
المصدر برنامج SPSS V23

## 5. النتائج:

- 1- نموذج الشبكات العصبية الاصطناعية أعطى كفاءة عالية في تصنیف حالات الفشل الكلوي حيث بلغت دقة التصنیف 89.7% في عینة التدريب و 88.2% في عینة الاختبار، مما يدل على قدرة جيدة للنموذج على التنبؤ والتعیم.
- 2- بيّنت الدراسة أن نسبة التصنیف الصحيح للأشخاص المصابین بالفشل الكلوي بلغ 89.8% في عینة التدريب Training بينما بلغ 88.6% في عینة الاختبار Testing.
- 3- بيّنت الدراسة أن نسبة التصنیف الصحيح للأشخاص الغیر مصابین بالفشل الكلوي بلغ 89.3% في عینة التدريب Training بينما بلغ 85.1% في عینة الاختبار Testing.
- 4- أظهرت نتائج التحقق المتقاطع (5-Fold Cross Validation) أن دقة النموذج تراوحت بين 86.7% و 92.5% بمتوسط 89.5%， مع انحراف معياري منخفض، وهو ما يعكس استقرار النموذج وموثوقیة نتائجه.
- 5- حقق نموذج الشبكات العصبية الاصطناعية قدرة تمیزیة مرتفعة بين المصابین وغير المصابین بالفشل الكلوي، حيث بلغت قيمة AUC = 0.937 ROC، وهي قيمة تشير إلى أداء تنبؤی ممتاز
- 6- تبيّن أن اليوریا هو من أهم المتغيرات المستقلة المؤثرة في إصابة الأشخاص بمرض الفشل الكلوي حيث كان الأكثر تأثیراً في تصنیف الإصابة بالفشل الكلوي بنسبة 35.0%， يليه متغير الكرياتينین بنسبة 28.2%， حيث شكلا معاً 63.2% من إجمالي الأهمیة النسبیة.

## 6. الخلاصة

هذه الدراسة خلصت إلى أن الشبكات العصبية الاصطناعية تعدّ أداة فعالة في تصنیف حالات الفشل الكلوي والتنبؤ بها، اعتماداً على بيانات واقعیة شملت (167) حالة؛ وقد حقق النموذج المقترن في هذه الدراسة دقة تصنیف بلغت (89.7%) في عینة التدريب و(88.2%) في عینة الاختبار، مما يعكس قدرة جيدة على التعیم.

وأظهرت نتائج التحقق المتقاطع (5-Fold Cross Validation) متوسط دقة بلغ 89.5% بانحراف معياري منخفض، بما يؤكّد استقرار النموذج، كما بلغت قيمة المساحة

تحت منحنى ROC نحو ( $AUC = 0.937$ ) ، مشيرةً إلى قوّة تميّزية ممتازة. ولقد بين تحليل الأهمية النسبية أنّ متغير الـ*الـy*ـوريـا كان الأكـثـر تأثـيرـاً بـنـسـبـة (35.0%) يـلـيـهـ الـكـرـيـاتـينـينـ بـنـسـبـة (28.2%)، فـيـ حـينـ كـانـتـ مـسـاـهـمـةـ مـحـدـودـةـ فـيـ متـغـيرـ الـجـنـسـ بـنـسـبـة (2.7%). ومن خـلـالـ هـذـهـ النـتـائـجـ تـؤـكـدـ الـدـرـاسـةـ عـلـىـ أـهـمـيـةـ تـوـظـيفـ نـمـاذـجـ الـذـكـاءـ الـاصـطـنـاعـيـ لـدـعـمـ الـتـشـخـيـصـ الـمـبـكـرـ لـحـالـاتـ الـفـشـلـ الـكـلـويـ وـاتـخـادـ الـقـرـارـ الطـبـيـ، خـاصـةـ فـيـ الـبـيـئـاتـ الـصـحـيـةـ ذاتـ الـموـاردـ الـمـحـدـودـةـ.

#### النـوـصـيـاتـ:

- 1- الاستفادة من الاساليب الاحصائية المتقدمة (أساليب التحليل المتعدد المتغيرات) كنماذج التصنيف الحديثة المتمثلة في نماذج الشبكات العصبية للفصل والتمييز بين مجموعتين او أكثر او في التنبؤ في جميع مجالات المعرفة.
- 2- تعليم فكرة استخدام الأساليب الإحصائية للتمييز والتصنيف في المجالات الاجتماعية والاقتصادية وعدم تركيزها على المجالات الطبية فقط.
- 3- إجراء الدراسات المستمرة وذلك بإدخال متغيرات جديدة وعوامل مؤثرة في توعية وتنقيف المواطن الليبي بخطر الفشل الكلوي.
- 4- استخدام أسلوب الشبكات العصبية الاصطناعية على التطبيقات الاحصائية ومقارنتها بنتائج النماذج والاساليب الاحصائية المعروفة للتحقق من جدوى استخدام الشبكات العصبية.
- 5- تطوير قاعدة جمع البيانات الإحصائية في وزارة الصحة للحصول على بيانات حقيقة وواقعية وفي غاية الدقة لكي تكون النتائج جيدة ومرضية تفيينا في تطوير البحث العلمي.

#### المراجع.

محمد علي الشرقاوي. (1996). كتاب الذكاء الاصطناعي والشبكات العصبية . مركز الذكاء الاصطناعي للحاسبات . القاهرة .

Ala Kamal Rashid. (2023) .Diagnosing Chronic Kidney disease using Artificial Neural Network (ANN) .Journal of Information Technology and Computing .Volume 4 .Issue 1 : 37 – 45 ,  
<https://jitic.sabapub.com>

Ali Mir Arif, Asif Ali .(2021) .Analysis of Prediction of Kidney Diseases Using Neural Network Techniques .IJRAR December 2021 .Volume 8 .Issue4 .Institute of Management Studies & Information Technology .Aurangabad(M.S.) .India.

Adam N. Jacob and others .(2010) .Neural Network Analysis to Predict Mortality in End-Stage Renal Disease .Application to United States Renal Data System .*Nephron Clinical Practice* 116 (2): c148–c158.

Anna Francis, et.al . (2024) .Chronic kidney disease and the global public health agenda .An international consensus .April 2024Nature Reviews Nephrology 20(Suppl. 3)

Brady Metherall, et.al. (2025). Machine learning for chronic kidney disease classification and creatinine level prediction using home-based measurements. Scientific Reports volume 15, Article number: 4364

Kilia L. De Almeida, et.al .(2020) .Kidney Failure Detection Using Machine Learning Techniques .8th International Workshop on ADVANCEs in ICT Infrastructures and Services, Candy E. Paris-Saclay University .Jan 2020 .Cancún, Mexico pp.1–8. hal-02495264ff.

Michael Negnevitsky, (2005) .Artificial Intelligence A Guide to Intelligent Systems .Pearson Education .Second Edition .Edinburgh Gate .Harlow .Essex CM20 2JE England.